

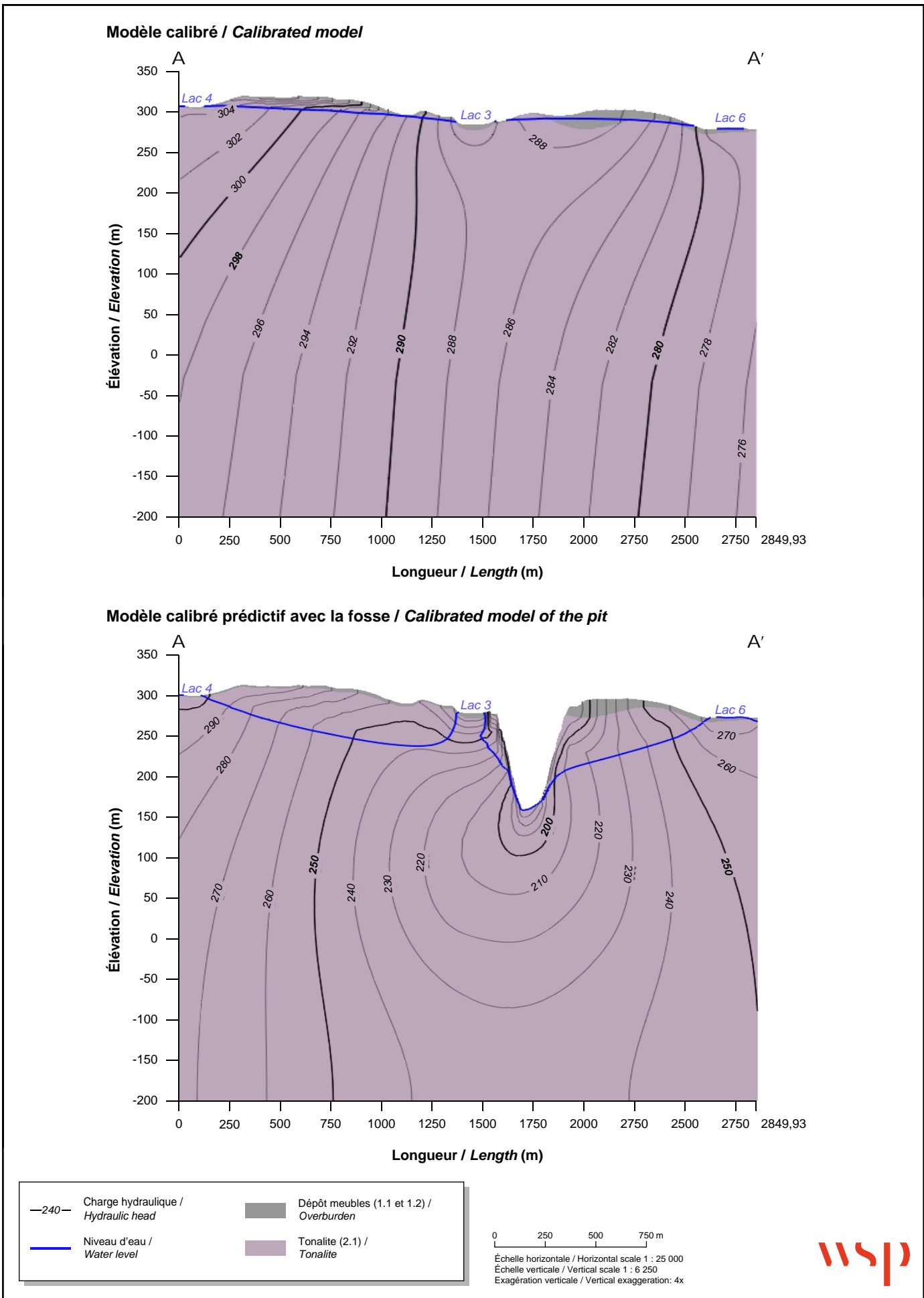
## ANNEXE ACEE-38

### Figures des résultats des simulations numériques hydrogéologiques

---

Figure 3

Distribution des charges hydrauliques, coupe A-A' / Distribution of hydraulic heads, A-A' section

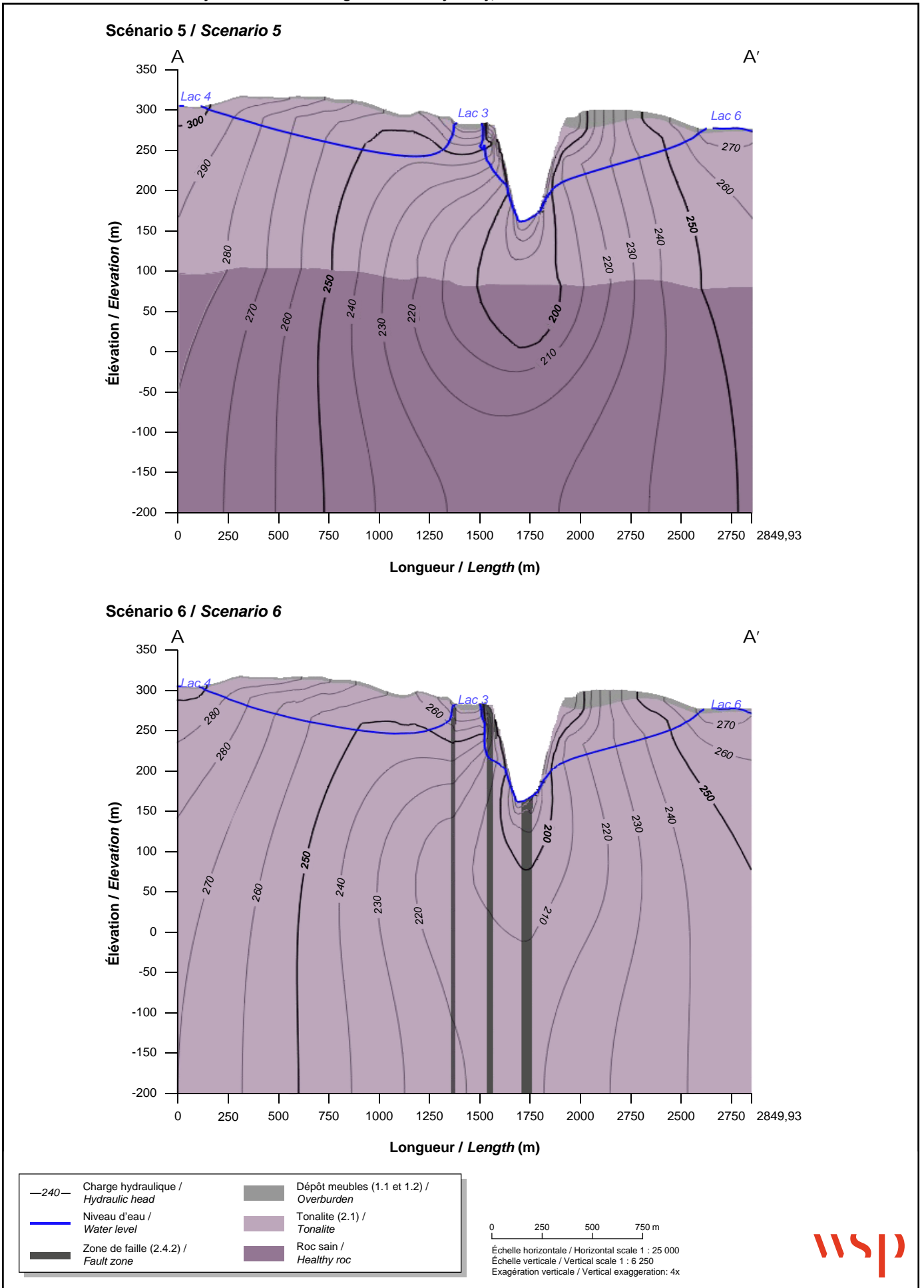


Rose\_mh\_f03\_hp\_coupeesAA\_wspb\_171102.ai



Figure 5

Distribution des charges hydrauliques lors de l'étude de sensibilité, coupe A-A' /  
Distribution of hydraulic heads during the sensitivity study, A-A' section



Rose\_mh\_f05\_hp\_coupesAA\_SSS-6\_wsbb\_171102.ai

Figure 6

Distribution des charges hydrauliques lors de l'étude de sensibilité, coupe B-B' /  
 Distribution of hydraulic heads during the sensitivity study, B-B' section

